

Двухпараметрические динамические солитоны в тонких упругих пластинах

А.С. Ковалев, Е.С. Соколова

Физико-технический институт низких температур им. Б.И. Веркина НАН Украины

пр. Ленина, 47, г. Харьков, 61103, Украина

E-mail: kovalev@ilt.kharkov.ua

esokolova@ilt.kharkov.ua

Статья поступила в редакцию 17 ноября 2009 г.

Исследована динамика двухпараметрических упругих солитонов почти сдвиговой поляризации, локализованных в тонкой упругой пластине ангармонического материала. Выведены одномерные нелинейные интегро-дифференциальные уравнения для сдвиговых смещений и предложен вариант асимптотической процедуры, позволивший найти приближенные аналитические решения для таких солитонов.

Досліджено динаміку двопараметричних пружних солітонів майже зсувної поляризації, локалізованих в тонкій пружній пластині ангармонічного матеріалу. Виведено одновимірне нелінійне інтегро-диференціальне рівняння для зсувних зміщень і запропоновано варіант асимптотичної процедури, що дозволяє знайти наближені аналітичні розв'язки для таких солітонів.

PACS: 68.35.-p Поверхности твердых тел и интерфейсы твердое тело– твердое тело: структура и энергетика.

Ключевые слова: упругая пластина, нелинейная среда, сдвиговая волна, солитон огибающей.

Введение

Проблема нелинейных упругих волн в системах с ограниченной геометрией (солитоны в тонких стержнях, нелинейные поверхностные волны и солитоны у идеальной поверхности и поверхности с тонким пленочным покрытием, нелинейные волны и солитоны в тонких пластинах) в последнее время интенсивно исследуется как экспериментально, так и теоретически [1–13]. Первоначально изучались преимущественно нестационарные нелинейные эффекты у поверхности нелинейных упругих сред, где за счет концентрации энергии в поверхностной волне нелинейные свойства проявлялись достаточно эффективно. Вопрос о возможности существования стационарных нелинейных волн в системах с ограниченной геометрией оставался открытым. Позже в рамках общей теории нелинейных волн стало ясно, что для существования стационарных нелинейных волн (как пространственно периодических, так и уединенных) необходимо наличие достаточно сильной пространственной дисперсии волн [14]. Обычно теория упругости не учитывает *собственную дисперсию* упругих волн, связанную с дискретностью кристаллической решетки, из-за ее малости в длинноволновом пределе [15]. Учет пространственной ограниченности системы приводит к существенному уве-

личению дисперсии упругих волн. В этом случае, кроме естественного пространственного масштаба — межатомного расстояния, появляется дополнительный геометрический пространственный параметр — толщина стержня или пластины, толщины пленочного покрытия поверхности, которые могут быть существенно больше межатомного расстояния. При этом дисперсия становится существенной не только вблизи верхней границы спектра линейных волн, но и при волновых векторах порядка величины $1/h$, где h — характерный размер системы (например, толщина пластины). Так, в случае упругих волн в пластине волны Рэлея–Лэмба сагиттальной поляризации и высшие ветви сдвиговых поверхностных волн (при их пространственном квантовании) имеют сильную дисперсию [2]. Действительно, для такой геометрии в работе [6] экспериментально обнаружены солитоны (нелинейные локализованные состояния) стационарного профиля.

Теоретически распространение нелинейных волн в упругой пластине изучалось в [6,10,12]. Авторы [6] рассмотрели чисто сдвиговые волны в упругой пластине и показали, что учет неоднородности волны по толщине пластины (в высших модах) приводит к возможности существования солитонов. В [10] учтено влияние сагиттальных компонент на периодические

сдвиговые нелинейные волны в такой же пластине и указано на сильное взаимодействие разных компонент смещений. В [12] проведено исследование нелинейной динамики упругих сдвиговых волн в пластине при учете их взаимодействия с малоамплитудными сагиттальными компонентами смещений. Показано, что в такой системе существуют сдвиговые солитоны стационарного профиля. В зависимости от пространственного размера, скорости и упругих модулей системы они могут принимать вид стандартных солитонных решений модифицированного уравнения Буссинеска или экзотических солитонов типа пиконов и компактонов. Кроме того, в [12] было указано, что существует узкая область значений длин волн, где нелинейная периодическая сдвиговая волна становится модуляционно неустойчивой. Развитие этой неустойчивости может привести (см. [14]) к образованию двухпараметрических динамических солитонов (ниже — *солитонов огибающей (envelope solitons)*), представляющих связанные состояния элементарных возбуждений системы (в нашем случае — фононов).

В случае нелинейного упругого полупространства, покрытого пленкой другого анизотропического материала, экспериментально наблюдались как однопараметрические динамические солитоны стационарного профиля, так и двухпараметрические солитоны огибающей [5].

В нелинейных пластинах экспериментально обнаружены лишь солитоны стационарного профиля [6]. Поэтому возникает вопрос о теоретическом исследовании возможности существования в таких нелинейных упругих пластинах также и солитонов огибающей. Обычно в одномерных системах этот вопрос легко исследуется в рамках стандартных уравнений нелинейной динамики и тех или иных асимптотических методов [13,14]. В многомерном случае проблема вывода адекватных уравнений нелинейной динамики становится достаточно сложной, а асимптотическая процедура нахождения солитонных решений становится нетривиальной и сложной даже в основном (резонансном) приближении. Поэтому в данной работе рассмотрена достаточно простая модель, в которой нелинейные волны имеют преимущественно сдвиговую поляризацию, а нелинейность возникает за счет взаимодействия сдвиговых смещений с малоамплитудными смещениями в сагиттальной плоскости. При этом для основной сдвиговой компоненты смещений удалось вывести одномерное интегро-дифференциальное эволюционное уравнение, получить солитонные решения этого уравнения для солитонов огибающей и исследовать их свойства.

1. Модель и вывод основного динамического уравнения

Для исследования нелинейной динамики сдвиговых волн в упругой пластине в работе [12] была сформулирована следующая модель (см. рис. 1). Неограниченная в направлениях X и Y упругая пластина конечной толщины $2h$ занимает объем $-h \leq z \leq h$. Волна однородна вдоль оси Y и распространяется вдоль оси X , а $u = u_{(y)}(x, z, t)$, $v = u_{(x)}(x, z, t)$, $w = u_{(z)}(x, z, t)$ — соответственно сдвиговое смещение ($u_{(y)}$) и смещения в сагиттальной плоскости (X, Z). В предложенной нами модели предполагается, что распространяющаяся нелинейная волна имеет в основном сдвиговую поляризацию, т.е. $u \gg v, w$, и перемещается со скоростями, близкими к скорости линейных сдвиговых волн. В работе [7] рассмотрены чисто сдвиговые солитоны стационарного профиля в пластинах при условии сильной зависимости сдвиговых смещений u от координаты Z . Однако экспериментально возбудить такую волну сложно. Обычно возбуждается чисто сдвиговая волна, однородная по толщине пленки. При этом она обладает слабой дисперсией (собственной дисперсией из-за дискретности решетки). С другой стороны, волны Рэлея–Лэмба со смещениями в сагиттальной плоскости обладают сильной дисперсией. Поэтому мы учитываем взаимодействие смещений основной сдвиговой поляризации со слабыми смещениями в сагиттальной плоскости. Это взаимодействие привносит дополнительную (к слабой собственной) дисперсию в основную сдвиговую волну. В главном приближении сдвиговые смещения не зависят от z : $u(x, z) = u^{(0)}(x) + u^{(1)}(x, z)$, $u^{(1)} \ll u^{(0)}$. При учете малой собственной дисперсии только для основной сдвиговой компоненты и учете зависимости от z только в квадратичных слагаемых, входящих в выражение для полной энергии системы, в работе [8] получена система динамических уравнений

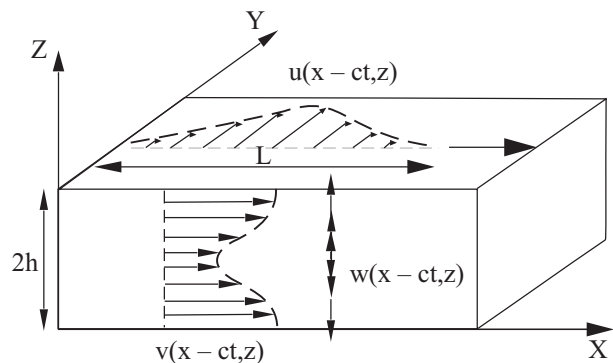


Рис. 1. Геометрия задачи и смещения в локализованной нелинейной упругой волне.

для пластины ангармонического кристалла кубической симметрии

$$\begin{aligned} & \rho u_{tt} - c_{44}(u_{xx} + u_{zz}) - Aa^2(u_{xxxx} + u_{zzzz}) = \\ & = s_{112121}[(u_x v_x)_x + (u_z w_z)_z] + s_{132123}[(u_z v_z)_x + (u_x w_x)_x + \\ & + (u_x v_z)_z + (u_x w_x)_z] + s_{332121}[(u_x w_z)_x + \\ & + (u_z v_x)_z] + \frac{1}{6}s_{212121}(u_x^3)_x, \end{aligned} \quad (1)$$

$$\begin{aligned} & \rho v_{tt} - c_{11}v_{xx} - c_{44}(v_{zz} + w_{xz}) - c_{12}w_{xz} = \\ & = s_{112121}u_x u_{xx} + s_{132123}(u_x u_z)_z + \frac{1}{2}s_{332121}(u_z^2)_x, \end{aligned} \quad (2)$$

$$\begin{aligned} & \rho w_{tt} - c_{11}w_{zz} - c_{44}(w_{xx} + v_{xz}) - c_{12}v_{xz} = \\ & = s_{112121}u_z u_{zz} + s_{132123}(u_x u_z)_x + \frac{1}{2}s_{332121}(u_x^2)_z \end{aligned} \quad (3)$$

и соответствующие им граничные условия на свободных границах пластины $z = \pm h$ (здесь и далее нижние индексы t, x, z означают дифференцирование по соответствующей переменной):

$$\begin{aligned} & c_{44}u_z + \tilde{A}a^2 u_{zzz} + s_{112121}u_z w_z + s_{332121}u_z v_x + \\ & + s_{132123}u_x(v_z + w_x) = 0, \end{aligned} \quad (4)$$

$$c_{44}(v_z + w_x) + s_{132123}u_x u_z = 0, \quad (5)$$

$$c_{11}w_z + c_{12}v_x + \frac{1}{2}s_{112121}u_z^2 + \frac{1}{2}s_{332121}u_x^2 = 0, \quad (6)$$

где c_{ij} и $s_{ijklmns}$ — линейные и нелинейные упругие модули кристалла в обозначениях [11], $\tilde{A} = c_{44}/12$.

Проинтегрировав уравнение (1) по толщине пластины и воспользовавшись граничным условием (4), легко получить одномерное уравнение для сдвиговых смещений $u^{(0)}$ в основном приближении:

$$\begin{aligned} & u_{xx}^{(0)} - \frac{1}{c_t^2}u_{tt}^{(0)} + Aa^2 u_{xxxx}^{(0)} + r(u_x^{(0)3})_x + \\ & + [u_x^{(0)} \frac{1}{2h} \int_{-h}^h dz (\alpha v_x + \beta w_z)]_x = 0, \end{aligned} \quad (7)$$

где $\alpha = \frac{s_{112121}}{c_{44}}$, $\beta = \frac{s_{332121}}{c_{44}}$, $r = \frac{s_{212121}}{6c_{44}}$, $c_t = \sqrt{\frac{c_{44}}{\rho}}$,

$A = \tilde{A}/c_{44}$. В это уравнение, кроме собственной дисперсии (третье слагаемое), связанной с дискретностью материала, входит дополнительная так называемая «нелинейная дисперсия» (последнее слагаемое), обус-

ловленная взаимодействием сдвиговой компоненты волны с малоамплитудными сагиттальными компонентами смещений. Это уравнение является основным для дальнейшего исследования сдвиговых солитонов огибающей.

Для нахождения замкнутого уравнение для $u^{(0)}$ необходимо выразить функции v и w через $u^{(0)}$, воспользовавшись уравнениями (2), (3) и граничными условиями (5), (6). Уравнения (2), (3) — линейные двумерные уравнения для v и w с правыми частями, зависящими от квадратов основных сдвиговых смещений. Эти уравнения легко решаются с помощью преобразования Фурье (система этих уравнений без правых частей дает решение задачи о распространении волн Рэлея–Лэмба, в частности, их спектр):

$$v = \int_0^\infty dk \int_{-\infty}^\infty d\omega \sin(kx - \omega t) V(k, z, \omega),$$

$$w = \int_0^\infty dk \int_{-\infty}^\infty d\omega \cos(kx - \omega t) W(k, z, \omega),$$

$$u_x^{(0)2} = - \int_{-\infty}^\infty dk \int_{-\infty}^\infty d\omega \frac{k^2}{8} u_0^2(k, \omega) \cos(kx - \omega t) + \frac{K^2}{8} u^{(0)2}(x, t). \quad (8)$$

В последней из приведенных формул учтено следующее обстоятельство. Огибающая рассматриваемых в данной статье солитонов выделяет локализованную область несущей волны с фазой $\Theta = Kx - \Omega t$ (см. ниже (15)), и для выполнения граничных условий в правой части (3) необходимо выделить соответствующую производную по «быстрой» координате.

После подстановки преобразований (8), решение уравнений (2), (3) для фурье-компонент сагиттальных смещений V и W принимает вид

$$V = V_1 \operatorname{ch} \gamma_1 z + V_2 \operatorname{ch} \gamma_2 z + \alpha k u_0^2 / [4(\kappa - 1 + \tilde{\epsilon})], \quad (9)$$

$$W = W_1 \operatorname{ch} \gamma_1 z + W_2 \operatorname{ch} \gamma_2 z, \quad (10)$$

где введены обозначения

$$\gamma_{1,2}^2 = k^2 (p \pm \sqrt{p^2 - 4\tilde{\epsilon}[1 - (1 - \tilde{\epsilon})/\kappa]}) / 2,$$

$$p = \kappa - 1 + \tilde{\epsilon}(1 + 1/\kappa) - v^2/\kappa, \quad \tilde{\epsilon} = 1 - \omega^2/k^2 c_t^2,$$

$$v = c_{21}/c_{44} + 1, \quad \kappa = c_{11}/c_{44}.$$

Воспользовавшись выражениями (8)–(10), можно переписать уравнение (7) в виде замкнутого уравнения для основной составляющей сдвиговых смещений $u^{(0)}$ (напомним, что u_0^2 — фурье-компонента $u^{(0)2}$):

$$u_{xx}^{(0)} - \frac{1}{c_t^2} u_{tt}^{(0)} + Aa^2 u_{xxxx}^{(0)} + r(u_x^{(0)})_x + \left\{ u_x^{(0)} \frac{1}{2h} \left[\int_{-\infty}^{\infty} dk \int_{-\infty}^{\infty} d\omega \cos(kx - \omega t) N(k, \omega) u_0^2(k, \omega) - \frac{\alpha\beta}{16(v-1)} K^2 u^{(0)2} \right] \right\}_x = 0. \quad (11)$$

Ядро интегрального оператора при этом выглядит следующим образом:

$$N(k, \omega) = -\frac{k^2}{2\kappa} \left(\beta - \alpha \frac{v-1}{\kappa-1+\tilde{\varepsilon}} \right) \frac{\tilde{\varepsilon}(\gamma_1^2 - \gamma_2^2)[\beta(\kappa-1+\tilde{\varepsilon}) - \alpha(v-1)]}{G\gamma_1\gamma_2} - \frac{\alpha^2 h k^2}{4(\kappa-1+\tilde{\varepsilon})}, \quad (12)$$

где

$$G = \gamma_1\gamma_2 \sum_{i=1}^2 (-1)^{i-1} \frac{1}{\gamma_i \operatorname{th}(\gamma_i h)} \left[\kappa - 1 + \tilde{\varepsilon} - \frac{(1-\tilde{\varepsilon})\gamma_i^2}{k^2} - \frac{(v-\tilde{\varepsilon})^2}{\kappa} \right].$$

В случае изотропного «материала Пуассона», для которого $\kappa=3$, $v=2$ и, следовательно, $\gamma_1 = k\sqrt{\tilde{\varepsilon}}$, $\gamma_2 = k\sqrt{\mu}$, $\mu = (2+\varepsilon)/3$, выражение (12) значительно упрощается:

$$N(k, \omega) = \frac{h}{2} k^2 \left(\frac{(1-\tilde{\varepsilon})\tilde{F}}{\mathfrak{R}} + \frac{\alpha^2}{6\mu} \right), \quad (13)$$

где

$$\tilde{F} = \left(\beta - \frac{\alpha}{3\mu} \right)^2, \quad \mathfrak{R} = \frac{4kh\sqrt{\tilde{\varepsilon}}}{\operatorname{th}(kh\sqrt{\tilde{\varepsilon}})} - \frac{(1+\tilde{\varepsilon})^2 kh}{\sqrt{\mu} \operatorname{th}(kh\sqrt{\mu})}. \quad (14)$$

Система (11)–(14) является основной для решения задачи о распространении почти сдвиговых нелинейных волн и солитонов в упругих ангармонических пластинах.

2. Асимптотическая процедура для нахождения малоамплитудных солитонов огибающей

Уравнения (7), (11) не интегрируются точно, и их решения для солитонов огибающей возможно найти лишь приближенно, используя тот или иной метод теории возмущения. Обычно малоамплитудные решения для солитонов огибающей в неинтегрируемых одномерных системах достаточно легко находятся с помощью различных асимптотических процедур (см. [13,14], а также [16], где асимптотический метод распространен на системы со звуковым законом дисперсии). В настоящей работе предлагается вариант асимптотической процедуры, в соответствии с которым решение для солитона огибающей ищется в виде ряда Фурье по периодической фазе (пространственно периодическая волна в системе отсчета, движущейся со скоростью огибающей солитона) с пространственно локализованными коэффициентами ряда Фурье этого разложения. В основном приближении (так называемом «резонансном приближении») решение имеет вид $u = u(x, t) = F(x - ct) \cos(Kx - \Omega t) + \Phi(x - ct) \sin(Kx - \Omega t)$, (15)

который зависит от фазы «несущей волны» $\Theta = Kx - \Omega t$ и фазы «огibaющего» профиля локализованного солитона $\Psi = x - ct$. Функции F и Φ раскладываются в степенные ряды по малому параметру, характеризующему отклонение частоты «несущей волны» солитона огибающей Ω от частоты линейной волны. Введем этот малый параметр следующим образом:

$$\varepsilon^2 = (\Omega / Kc_t)^2 - 1 + Aa^2 K^2. \quad (16)$$

(Напомним, что закон дисперсии линейных чисто сдвиговых волн в бесконечной среде в нашей модели имеет вид $\Omega^2 = c_t^2 K^2 - Aa^2 c_t^2 K^4$, что следует из первых трех слагаемых уравнения (7).) При этом частота и групповая скорость малоамплитудной несущей волны в нелинейном случае определяются следующими выражениями:

$$\Omega(K) \approx c_t K \sqrt{1 - Aa^2 K^2} [1 + \varepsilon^2 / 2(1 - Aa^2 K^2)], \quad (17)$$

$$c = \frac{\partial \Omega}{\partial K} \approx c_t \left[\frac{1 - 2Aa^2 K^2}{\sqrt{1 - Aa^2 K^2}} - \frac{1 - 2Aa^2 K^2}{2(1 - Aa^2 K^2)^{3/2}} \varepsilon^2 \right]. \quad (18)$$

В решении (15) возникает следующая иерархия малости различных слагаемых и пространственных масштабов: $F \sim \varepsilon$, $\Phi \sim \varepsilon^2$ и $\partial / \partial x \sim \varepsilon$.

Воспользовавшись представлением (15), можно переписать фурье-образ u_x^2 в виде

$$u_0^2(k, \omega) \frac{k^2}{8} = -\frac{1}{4\pi} \int_{-\infty}^{+\infty} dx \int_{-\infty}^{+\infty} dt \left(F_x^2 - \frac{K^2}{8} F \right) \cos(kx - \omega t),$$

$$u_x^2 = M + \tilde{N} \cos 2\Theta + Q \sin 2\Theta, \quad (19)$$

где

$$M = (F_x + K\Phi)^2 - 2KF\Phi + K^2 F^2,$$

$$\tilde{N} = \frac{1}{2} \left[(F_x + K\Phi)^2 + 2KF\Phi_x - K^2 F^2 \right],$$

$$Q = -2K(FF_x + KF\Phi).$$

Перейдя в движущуюся систему координат и сделав замену переменной интегрирования $x = p - ct$, воспользуемся формулой $\int_{-\infty}^{\infty} d\omega \cos \omega t = 2\pi \delta(x)$ и произведем интегрирование по времени t . В результате получаем

$$u_0^2(k, \omega) \frac{k^2}{8} = \frac{\pi}{2} \int_{-\infty}^{+\infty} dp \left\{ M \cos kp \delta(\omega - ck) + \frac{1}{2} P \sum_{i=1}^2 \left[\cos(2K + (-1)^i k) p \delta(2\Omega + \omega - c(2K + (-1)^i k)) \right] + Q \sum_{i=1}^2 \left[\sin(2K + (-1)^i k) p \delta(2\Omega + \omega - c(2K + (-1)^i k)) \right] \right\}, \quad (20)$$

где $P = 2\tilde{N}$. При этом последнее, интегральное, слагаемое в уравнении (11) (после интегрирования по ω) принимает вид

$$I = 1/2h \left\{ (F_x + K\Phi) \cos \Theta + (\Phi_x - KF) \sin \Theta \right\} \tilde{I}_x, \quad (21)$$

где

$$\tilde{I} = \frac{\pi}{2} \int_{-\infty}^{+\infty} dk \int_{-\infty}^{+\infty} dp \cos kp \left\{ N_1 M \cos k\Psi + (P/2 + Q) \times \right. \\ \left. \times [N_2 \cos(k\Psi - 2\Theta) + N_3 \cos(k\Psi + 2\Theta)] \right\} \quad (22)$$

и введены следующие обозначения, соответствующие замене аргументов в формуле (13) для $N(k, \omega)$:

$$N_1 = N(k, kc), \quad N_2 = N(k - 2K, kc - 2\Omega), \\ N_3 = N(k + 2K, kc + 2\Omega).$$

Рассмотрим вклад различных слагаемых в \tilde{I} . В первом слагаемом ($\sim N_1$) параметр $\tilde{\varepsilon} = 1 - (c/c_t)^2$ не зависит от переменной интегрирования (в основном приближении он совпадает с введенным выше параметром $\varepsilon = 1 - \omega^2 / k^2 c_t^2$). В этом случае $kh\sqrt{\tilde{\varepsilon}} / \text{th}(kh\sqrt{\tilde{\varepsilon}}) \sim 1$ и

$$N_1 = \frac{\beta^2 h}{[kh\sqrt{2} / \text{th}(kh\sqrt{2})] - 2} - 2\alpha^2 h + O(\varepsilon^2). \quad (23)$$

Знаменатель ядра (23) обращается в нуль при критическом значении $k = k_* \sim K \sim 1/h$. Этот полюс соответствует первой симметричной волне Рэлея–Лэмба с фазовой скоростью, равной скорости солитона $c \approx c_t$. Таким образом, движущийся в пластине солитон огибающей, представляющий собой локализованную сдвиговую волну, должен испускать волны Рэлея–Лэмба, и его стационарное движение, строго говоря, невозможно. Излучаемые волны имеют следующий вид: $v, w \sim \sin(k_*(x - c_t k)) u_0^2(k_*, \omega) k_*^2 / 8$.

Ситуация упрощается в случае слаболокализованных солитонов с пространственным размером огибающей $F: L \gg h$, когда фурье-преобразование квадрата огибающей солитона $u_0^2(k, \omega) k^2 / 8$ экспоненциально локализуется в интервале $k < 1/L \ll k_*$. В пределе стандартного солитона модифицированного уравнения Буссинеска имеем $u_0^2(k, \omega) k^2 / 8 \sim k / \text{sh}(\sigma k / \sqrt{\tilde{\varepsilon}})$, где $\sigma \sim 1$. В этом случае энергия, излучаемая в волну Рэлея–Лэмба, имеет порядок величины $E_* \sim \exp(-L/h)$. Таким образом, излучаемая малоамплитудным солитоном огибающей энергия мала, и для слаболокализованных солитонов можно пренебречь эффектом излучения.

Рассмотрим слагаемое с N_2 . В этом случае

$$\tilde{\varepsilon} = 1 - \left(\frac{c}{c_t} \right)^2 + 2 \left(\frac{c}{c_t} \right)^2 \left(\frac{1 - \Omega / Kc}{1 - k / 2K} \right). \quad (24)$$

Как видно, величина $\tilde{\varepsilon}$ является малой (так как $1 - (c/c_t)^2 \sim \varepsilon^2$ и $1 - \Omega / Kc = O(\varepsilon^2)$) в области значений k меньших или порядка волнового числа несущей волны K . Таким образом, как и в случае первого слагаемого N_1 , происходит излучение волн Рэлея–Лэмба при $k \sim K \sim 1/h$. Величина $\tilde{\varepsilon}$ стремится к бесконечности при $k = 2K$. В этом пределе ядро интегрального оператора принимает вполне определенное конечное значение $\sim h\beta^2 / 2$.

Для слагаемого с N_3 анализ, проведенный для N_2 , справедлив при замене знаков при K и Ω .

Нас интересуют солитонные решения, пространственный размер которых L достаточно велик. Это означает, что достаточно велик размер огибающей $F(x)$ по координате x . Следовательно, фурье-преобразование его квадрата локализовано в малой области значений k , размер которой $\sim 1/L$. Таким образом, можно ограничиться рассмотрением подынтегрального выражения в (18) только вблизи значения $k = 0$, где оно будет давать максимальный вклад, и пренебречь эффектом излучения волн Рэлея–Лэмба.

В соответствии с этим представим функции $N_i(k)$ в следующем виде: $N_1 = a_1 + a_2 k^2$, $N_2 = a_3 + a_4 k + a_5 k^2$, $N_3 = a_3 - a_4 k + a_5 k^2$. При этом

$$a_1 = -\beta^2 h / 2 - 2\alpha^2 h + O(\varepsilon^2), \quad (25)$$

$$a_2 = -\frac{\beta^2 h^3}{12} \frac{c^2}{c_t^2} + O(\varepsilon^2), \quad (26)$$

$$a_3 = \frac{\beta^2 h}{S} - 2\alpha^2 h + O(\varepsilon^2), \quad (27)$$

$$a_5 = \frac{\beta^2 h}{S^2} \left\{ - \left(1 - \frac{1}{\text{th}^2(\sqrt{2}Kh)} \right) \left(1 - \frac{\sqrt{2}Kh}{\text{th}(\sqrt{2}Kh)} \right) h^2 - \frac{2c_t^2}{\varepsilon_0} \frac{1}{K^2} + \frac{U^2}{S} \right\} + O(\varepsilon^2), \quad (28)$$

где

$$U = 2h^2 K - \frac{2h^2 K}{\text{th}^2(\sqrt{2}Kh)} + \frac{\sqrt{2}h}{\text{th}(\sqrt{2}Kh)} - \frac{2(1-2c_1/\sqrt{\varepsilon_0})}{K},$$

$$S = \left[\frac{2\sqrt{2}Kh}{\text{th}(\sqrt{2}Kh)} \right] - 4,$$

$$\varepsilon_0 = 1 - \left(\frac{c}{c_t}\right)^2 + 2\left(\frac{c}{c_t}\right)^2 \left(1 - \frac{\Omega}{Kc}\right) \sim \varepsilon^2,$$

$$c_1 = \left(\frac{c}{c_t}\right)^2 \frac{1 - \Omega/Kc}{2\sqrt{\varepsilon_0}} \sim \varepsilon.$$

Значение коэффициента a_4 не приведено, так как после суммирования N_1 и N_2 соответствующее слагаемое $\sim k$ равно нулю.

После такой подстановки и интегрирования с использованием формул

$$\int_{-\infty}^{\infty} d\omega \cos \omega x \cos \omega X = \pi [\delta(x-X) + \delta(x+X)],$$

$$\int_{-\infty}^{\infty} d\omega \sin \omega x \sin \omega X = \pi [\delta(x-X) - \delta(x+X)],$$

параметр \tilde{I} принимает вид

$$\tilde{I} = \pi^2 \left\{ (a_1 - a_2 \frac{\partial^2}{\partial x^2})M + (a_3 - a_5 \frac{\partial^2}{\partial x^2}) \times \right. \\ \left. \times (P \cos 2\Theta + Q \sin 2\Theta) \right\}. \quad (29)$$

3. Анализ решений для солитонов огибающей

Подставив разложение (15) в уравнение (11) и используя выведенное соотношение (29), получаем

$$\{F_{\Psi\Psi} (1 - \frac{c^2}{c_t^2} - 6Aa^2 K^2) + \Phi_{\Psi\Psi} (2K - \frac{2\Omega c}{c_t^2} - 4Aa^2 K^3) + \\ + F(-K^2 + \frac{\Omega^2}{c_t^2} + Aa^2 K^4) + F^3 [-\frac{3}{4} rK^4 - \pi^2 \frac{K^4}{2h} \times \\ \times (a_1 + \frac{1}{2}(a_3 + 4a_5 K^2))] \} \cos \Theta + \{ \Phi_{\Psi\Psi} (1 - \frac{c^2}{c_t^2} - 6Aa^2 K^2) - \\ - F_{\Psi\Psi} (2K - \frac{2\Omega c}{c_t^2} - 4Aa^2 K^3) + \Phi(-K^2 + \frac{\Omega^2}{c_t^2} + Aa^2 K^4) + \\ + F_{\Psi\Psi\Psi} (-4Aa^2 K) + F^2 F_{\Psi\Psi} [-3 rK^3 - \\ - \pi^2 \frac{2K^3}{h} (a_1 + \frac{1}{2}(a_3 + 5a_5 K^2))] + F^2 \Phi [-\frac{3}{4} rK^4 - \\ - \pi^2 \frac{K^4}{2h} (a_1 + \frac{1}{2}(a_3 + 4a_5 K^2))] \} \sin \Theta = 0. \quad (30)$$

Используя соотношения (16)–(18), оставляем в уравнении только основные члены $\sim \varepsilon^3$ и $\sim \varepsilon^4$ и приравниваем нулю коэффициенты при $\sin \Theta$ и $\cos \Theta$. Таким образом, для функций F, Φ получаем следующую замкнутую систему нелинейных уравнений:

$$A^* F_{\Psi\Psi} + \varepsilon^2 K^2 F + RF^3 = 0, \quad (31)$$

$$A^* \Phi_{\Psi\Psi} + \varepsilon^2 \Phi - 4Aa^2 KF_{\Psi\Psi} + \\ + \left(\frac{4R}{K} - \frac{\pi^2 K^5 a_5}{h} \right) F^2 F_{\Psi\Psi} + RF^2 \Phi = 0, \quad (32)$$

где

$$A^* = K^2 Aa^2 \frac{2K^2 Aa^2 - 3}{1 - K^2 Aa^2}, \quad (33)$$

$$R = [-\frac{3}{4} rK^4 - \pi^2 \frac{K^4}{2h} (a_1 + \frac{1}{2}(a_3 + 4a_5 K^2))]. \quad (34)$$

Слагаемые в уравнении (31) имеют порядок величины ε^3 , в уравнении (32) — ε^4 . В коэффициент R входит зависимость от толщины пластины. Однако учет пространственной ограниченности системы в данной задаче не приводит к появлению принципиально новых нелинейных слагаемых, в отличие от случая солитонов стационарного профиля, рассмотренного в работе [8].

Уравнение (31) представляет собой стационарную редукцию модифицированного уравнения Буссинеска с хорошо известным солитонным решением:

$$F = \sqrt{\frac{2}{|R|}} \frac{\varepsilon K}{\text{ch}(\varepsilon\Psi K / \sqrt{A^*})}. \quad (35)$$

Необходимо отметить, что уравнение (31) допускает солитонные решения только при условии $A^* < 0, R < 0$.

В случае нелинейных волн стационарного профиля $dF/d\Psi = d\Phi/d\Psi = 0, F = u_0 = \text{const} \ll 1$ и закон дисперсии линейных волн выглядит следующим образом:

$$\Omega^2 = K^2 c_t^2 + Aa^2 K^4 c_t^2 - Ru_0^2. \quad (36)$$

При этом, согласно критерию Лайтхилла

$$\frac{\partial^2 \Omega}{\partial K^2} / \frac{\partial \Omega}{\partial u_0^2} < 0,$$

такая нелинейная волна становится модуляционно неустойчивой в области $R(K) < 0$ [8]. Развитие этой неустойчивости, как видно, приводит к образованию солитонов огибающей.

Таким образом, соотношение $R(K) < 0$ задает узкую область значений K , где возможно существование солитонов огибающей. Параметр несущей волны K лежит вблизи точки пересечения законов дисперсии

сдвиговых волн и волн Рэлея–Лэмба в линейном приближении. При этом $k_* < K < \theta k_*$, где $k_* \sim 1/h$ и

$$\theta = \zeta \left[1 + \frac{1}{4} \left| \frac{2}{F} (3r - \alpha\beta - \alpha^2 / 2(2 + \tilde{\varepsilon})) \right| \right],$$

$$F = \left(\beta - \frac{\alpha^2}{4(2 + \tilde{\varepsilon})^2} \right), \quad \zeta = 1 + O(\varepsilon).$$

Данный промежуток соответствует ранее определенной области неустойчивости нелинейной волны стационарного профиля [12].

Малые добавки к солитонному профилю могут быть найдены из уравнения (32). С учетом (31) оно может быть переписано в виде

$$A^* \Phi_{\Psi\Psi} + \varepsilon^2 \Phi + (4\varepsilon^2 A a^2 K / A^*) F_{\Psi} + R' F^2 F_{\Psi} + R F^2 \Phi = 0, \quad (37)$$

где $R' = 12 A a^2 K R / A^* + 4R / K - \pi^2 K^2 a_5 / h$.

С точностью до малого параметра ε^2 решение уравнения (37) может быть представлено в виде

$$\Phi = \varepsilon^2 K^2 \frac{R'}{\sqrt{2RA^*R}} \frac{\text{sh}(\varepsilon K \Psi / \sqrt{A^*})}{\text{ch}^2(\varepsilon K \Psi / \sqrt{A^*})}. \quad (38)$$

Окончательно решение для солитона огибающей выглядит следующим образом:

$$u = \sqrt{\frac{2}{R}} K \frac{\varepsilon}{\text{ch}(\varepsilon x / \sqrt{A^*})} \cos \Theta + \varepsilon^2 K^2 \frac{R'}{\sqrt{2RA^*R}} \frac{\text{sh}(\varepsilon \Psi / \sqrt{A^*})}{\text{ch}^2(\varepsilon \Psi / \sqrt{A^*})} \sin \Theta. \quad (39)$$

Найденное решение для солитона огибающей является, как и следовало ожидать, двухпараметрическим. Первый параметр — малый параметр ε , характеризующий амплитуду и отклонение частоты от частоты линейной сдвиговой волны. Второй параметр — волновое число K .

В основном приближении поведение огибающей определяется функцией $F \sim \varepsilon$. Учет малых добавок по ε^2 (т.е. функции Φ) приводит к изменению стандартной солитонной формы решения.

Заключение

В работе показано, что в тонкой упругой пластине могут существовать сдвиговые солитоны огибающей. Сформулирована модель для изучения почти сдвиговых солитонов огибающей в такой системе. Выведено одномерное интегро-дифференциальное уравнение для основной компоненты сдвиговой деформации. Предложен вариант асимптотической процедуры для нахождения солитонов огибающей (в меру малого параметра ε). Найдены приближенные малоамплитудные решения для солитонов огибающей и указаны параметры

системы и параметры несущей волны, при которых такие солитоны могут существовать.

Авторы выражают признательность проф. А.П. Майеру за постоянное внимание к работе и обсуждение результатов.

Работа выполнена при частичной финансовой поддержке Deutsche Forschungsgemeinschaft (грант MA 1074/9-1).

1. Л.К. Зарембо, В.А. Красильников, *УФН* **102**, 549 (1970).
2. J.D. Ashenbach, *Wave Propagation in Elastic Solids*, North-Holland Publishing Company, Amsterdam, London (1973).
3. V. Narayanamurti, С.М. Varma, *Phys. Rev. Lett.* **25**, 1105 (1970).
4. В.И. Наянов, *Письма в ЖЭТФ* **44**, 314 (1986).
5. А.М. Lomonosov, P. Hess, and A.P. Mayer, *Phys. Rev. Lett.* **88**, 076104 (2002).
6. А.М. Самсонов, *Математическое моделирование. Нелинейные волны в сплошных средах*, Санкт-Петербург, Изд-во Политехнического университета (2005).
7. Yu.S. Kivshar and E.S. Syrkina, *Phys. Lett.* **A153**, 2 (1991).
8. А.С. Ковалев, Е.С. Сыркин, *ЖЭТФ* **100**, 522 (1992).
9. G.A. Maugin and H. Hadonaj, *Phys. Rev.* **B44**, 1266 (1991).
10. A.P. Mayer, D.F. Parker, and A.A. Maradudin, *Phys. Lett.* **A164**, 171 (1991).
11. A.P. Mayer, *Phys. Rep.* **256**, 237 (1995).
12. А.С. Ковалев, А.П. Майер, Е.С. Соколова, К. Экл, *ФНТ* **28**, 1092 (2002) [*Low Temp. Phys.* **28**, 780 (2002)].
13. А.С. Kovalev, A.P. Mayer, C. Eckl, and G.A. Maugin, *Phys. Rev.* **E66**, 036615 (2002).
14. А.М. Косевич, А.С. Ковалев, *Введение в нелинейную физическую механику*, Киев, Наукова думка (1989).
15. Л.Д. Ландау, Е.М. Лифшиц, *Теория упругости*, Наука, Москва (1965).
16. А.С. Ковалев, Автореф. дисс. докт. физ.-мат. наук, Харьков (1990).

Two-parameter dynamical solitons in thin elastic plates

A.S. Kovalev and E.S. Sokolova

The dynamics of two-parameter elastic solitons with nearly shear polarization is investigated for a thin elastic plate of anharmonic material. One-dimensional integro-differential equations were derived for the purely shear displacements and a new version of asymptotical procedure is proposed to derive these equations. Approximate solutions for the envelope solitons were obtained and analyzed.

PACS: **68.35.-p** Solid surfaces and solid–solid interfaces: structure and energetics.

Keywords: elastic plate, nonlinear medium, shear wave, envelop soliton.